

# Kybernetika

---

Mark Semenovich Pinsker

Некоторые математические вопросы теории передачи информации

*Kybernetika*, Vol. 2 (1966), No. 2, (117)--147

Persistent URL: <http://dml.cz/dmlcz/125157>

## Terms of use:

© Institute of Information Theory and Automation AS CR, 1966

Institute of Mathematics of the Academy of Sciences of the Czech Republic provides access to digitized documents strictly for personal use. Each copy of any part of this document must contain these *Terms of use*.



This paper has been digitized, optimized for electronic delivery and stamped with digital signature within the project *DML-CZ: The Czech Digital Mathematics Library*  
<http://project.dml.cz>

## Некоторые математические вопросы теории передачи информации\*

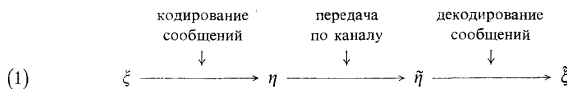
М. С. ПИНСКЕР

Этот доклад посвящен обзору вероятностных аспектов некоторых направлений теории передачи информации. В первой части обзора будут изложены отдельные результаты по обоснованию Шенноновской теории оптимального кодирования информации, носящие окончательный характер. Главное внимание уделяется проблеме построения конкретных простых способов кодирования и декодирования, поскольку основные усилия исследователей сосредоточены в настоящее время на разработке эффективных методов передачи информации. В ходе изложения сформулировано несколько актуальных, как нам кажется, проблем. Естественно, что содержание доклада тесно переплетается с работами автора.

### 1. ВВЕДЕНИЕ

Полное и математически четкое изложение центральных результатов теории оптимального кодирования информации весьма громоздко [3, 4]. Поэтому для того, чтобы не перегружать изложения мы в §§ 1 и 2 дадим лишь беглый обзор основных понятий и результатов (см. [3]) теории. Существо интересующих нас результатов мы будем пояснить на отдельных примерах, представляющих, однако, весьма общие ситуации передачи информации. Перенесение полученных результатов на более общие случаи не представляет труда для читателя — математика.

Шенноновская модель системы передачи информации исходит из следующей схемы:



Здесь  $\xi$  — сообщение, генерируемое источником, есть случайная величина, при-

\* Доклад, прочитанный на Летнем семинаре по теории информации и статистическим методам автоматического управления, г. Прага 25 мая — 4 июня 1965 г.

118

нимаяющая значения  $x$  в пространстве  $X$ . Значениями сообщения  $\xi$  являются обычно реализациями случайного процесса  $\xi(t)$  на некотором временном полуинтервале; этими реализациями могут быть, например, последовательности чисел  $x = (x_1 \dots x_m)$ ; функции непрерывного аргумента  $x = \{x(t); 0 < t \leq T\}$ ; функции нескольких аргументов (кадры телевизионного изображения) и т.п. Переход  $\xi \rightarrow \eta$  есть кодирование (преобразование) сообщения  $\xi$  в сигнал  $\eta$  на входе канала, принимающий значения  $y$  в пространстве  $Y$ . Значениями сигнала  $\eta$  могут быть также последовательности чисел, функции непрерывного аргумента и т.п. Переход  $\eta \rightarrow \tilde{\eta}$  есть передача сигнала по каналу, на выходе которого образуется сигнал  $\tilde{\eta}$ , принимающий значения  $\tilde{y}$  в пространстве  $\tilde{Y}$ . Переход от входного сигнала  $\eta$  к выходному сигналу  $\tilde{\eta}$  подчиняется условному распределению вероятностей

$$(2) \quad P_{y|\eta}(\tilde{B} | y) = P_{\tilde{\eta}|\eta}(\tilde{B} | y) = P\{\tilde{\eta} \in \tilde{B} | \eta = y\}, \quad \tilde{B} \subset \tilde{Y}$$

(вероятность того, что значения сигнала на выходе  $\tilde{\eta}$  принадлежат множеству  $\tilde{B}$  при условии, что сигнал на входе  $\eta$  принял значение  $y$ ). Это условное распределение характеризует канал и описывает вероятности искажений (шума), возникающих в канале. Весьма часто сигнал на выходе  $\tilde{\eta}$  представляется, в определенном смысле, как сумма сигнала  $\eta$  и шума  $\zeta$

$$(2a) \quad \tilde{\eta} = \eta + \zeta.$$

Переход  $\tilde{\eta} \rightarrow \xi$  есть декодирование (преобразование) выходного сигнала  $\tilde{\eta}$  в воспроизводимое сообщение  $\xi$ , принимающего значения в пространстве  $\tilde{X}$ . Кодирование  $\xi \rightarrow \eta$  и декодирование  $\tilde{\eta} \rightarrow \xi$  определяются условным распределениями вероятностей

$$(3) \quad P_{\eta|\xi}(B | x) = P\{\eta \in B | \xi = x\}, \quad B \subset Y,$$

$$(4) \quad P_{\xi|\tilde{\eta}}(A | \tilde{y}) = P\{\xi \in A | \tilde{\eta} = \tilde{y}\}, \quad A \subset \tilde{X}.$$

В большинстве работ рассматриваются лишь так называемое нерандомизированное кодирование и декодирование, когда условные распределения (3) и (4) сосредоточены в одной точке. В этом случае кодирование и декодирование задаются однозначными функциями

$$(5) \quad \eta = f(\xi), \quad \tilde{\xi} = \phi(\tilde{\eta}).$$

В дальнейшем задание правил кодирования и декодирования сообщений и сигналов мы будем отождествлять с заданием условных распределений (3) и (4) или функций (5). Пространства  $X$  и  $\tilde{X}$ ,  $Y$  и  $\tilde{Y}$  могут не совпадать. Воспроизводимое сообщение должно удовлетворять условиям верности, задаваемым получателем. Условие верности обычно сводится к ограничениям на совместные распределения вероятностей  $P_{\xi\tilde{\eta}}$  сообщения на выходе источника информа-

$$(6) \quad P_{\xi|\tilde{\xi}} \in W,$$

где  $W$  – некоторое множество совместных распределений пар  $(\xi, \tilde{\xi})$ . Так как распределение  $P_\xi$  – фиксировано, то, в случае существования условных распределений  $P_{\tilde{\xi}|\xi}$ , задание множества  $W$  равносильно заданию некоторого множества условных распределений  $P_{\tilde{\xi}|\xi}$ .

Хорошо известными примерами условий верности воспроизведения являются

$$\text{a) } P(\xi + \tilde{\xi}) = 0 \quad (\text{условие полного воспроизведения});$$

$$(7) \quad \text{б) } P(\xi + \tilde{\xi}) \leq \varepsilon, \quad \varepsilon > 0;$$

$$(8) \quad \text{в) } E(\xi(t) - \tilde{\xi}(t))^2 \leq \varepsilon^2,$$

где  $\xi(t)$  и  $\tilde{\xi}(t)$  – одномерные случайные величины и  $E$  – знак математического ожидания.

Могут быть также наложены ограничения на распределения сигналов на входе канала  $\eta$

$$(9) \quad P_\eta \in V,$$

где  $V$  – некоторое множество распределений. Например, в случае когда  $\eta = \{\eta(t); 0 < t \leq T\}$ , где  $\eta(t)$  – одномерные случайные величины, это ограничение может иметь вид:

$$(10) \quad E\eta^2(t) \leq P_c$$

– ограничение на среднюю мощность сигнала.

Основная проблема передачи информации заключается в следующем. Пусть заданы  $P_\xi, P_{\tilde{\xi}|y}, W, V$ . Когда возможно задать правила кодирования и декодирования так, чтобы в предположении, что цепь случайных величин  $\xi, \eta, \tilde{\xi}$  марковская и пара случайных величин  $(\eta, \tilde{\eta})$  подчинена условиям (2) и (9), мы имеем  $P_{\xi|\tilde{\xi}} \in W$ . Короче эта проблема будет формулироваться так: когда возможно построить передачу так, чтобы воспроизведенное сообщение удовлетворяло заданным критериям верности.

Решение этой проблемы формулируется как теоремы Шеннона. Некоторые ее аспекты будут рассмотрены в § 2. Последующие параграфы будут посвящены построению методом кодирования и декодирования в случае, когда передача возможна.

## 2. ТЕОРЕМЫ ШЕННОНА. СКОРОСТЬ СОЗДАНИЯ СООБЩЕНИЙ, ПРОПУСКНАЯ СПОСОБНОСТЬ КАНАЛА. ВЕРОЯТНОСТИ ОШИБОК

Основными величинами с помощью которых формулируются и доказываются теоремы Шеннона являются информация и информационная плотность.

120

Эти величины определяются следующим образом. Пусть  $\xi$  и  $\eta$  случайные величины, принимающие значения в пространствах  $X$  и  $Y$ ,  $P_\eta$ ,  $P_\xi$  и  $P_{\xi\eta}$  – распределения вероятностей случайных величин  $\eta$ ,  $\xi$  и пары случайных величин  $(\xi, \eta)$ . Логарифм плотности вероятности меры  $P_{\xi\eta}$  по произведению вероятностных мер  $P_\xi \cdot P_\eta$  (если плотность существует) называется *информационной плотностью*  $i_{\xi\eta}$

$$i_{\xi\eta}(x, y) = \log \frac{P_{\xi\eta}(dx dy)}{P_\xi(dx) P_\eta(dy)}.$$

Математическое ожидание случайной величины  $i_{\xi\eta}(\xi, \eta)$  называется *информацией*

$$(11) \quad I(\xi, \eta) = Ei_{\xi\eta}(\xi, \eta) = \int_{X \times Y} i_{\xi\eta}(x, y) P_{\xi\eta}(dx dy).$$

Если информационная плотность не существует, то полагаем

$$(12) \quad I(\xi, \eta) = \infty.$$

Формулировки теорем Шеннона непосредственно выражаются через экстремальные значения информации: пропускной способности канала и скорости создания сообщений. Наибольшее значение (верхняя грань) информации  $I(\eta, \tilde{\eta})$  пары случайных величин  $(\eta, \tilde{\eta})$ , подчиненных условному распределению вероятностей (2) и ограничению (9) называется *пропускной способностью канала*

$$(13) \quad C = \sup_{P_\eta \in V} I(\eta, \tilde{\eta}).$$

Наименьшее значение (нижняя грань) информации пары случайных величин  $\xi$  и  $\tilde{\xi}$ , подчиненных условию  $P_{\xi\tilde{\xi}} \in W$ , называется *энтропией*  $H_W(\xi)$  сообщения при верности воспроизведения  $W$ :

$$(14) \quad H_W(\xi) = \inf_{P_{\xi\tilde{\xi}} \in W} I(\xi, \tilde{\xi}).$$

(При условии полного воспроизведения  $H_W(\xi) = I(\xi, \tilde{\xi}) = H(\xi)$  – энтропия случайной величины  $\xi$ .) Часто пространства  $X$  и  $\tilde{X}$  совпадают и условия верности воспроизведения выражаются через параметр  $\varepsilon$ , ограничивающий, в определенной метрике, расстояние воспроизводимых значений сообщений от сообщений, генерируемых источником. Примерами таких условий являются условия задаваемые соотношениями (7) и (8). В этих случаях вводятся обозначения  $H_\varepsilon(\xi) = H_W(\xi)$  и  $H_W(\xi)$  называется  $\varepsilon$ -энтропией сообщения  $\xi$ .

Так как при построении передачи сообщений по каналу последовательность  $\xi, \eta, \tilde{\eta}, \tilde{\xi}$  образует цепь Маркова, то

$$I(\xi, \tilde{\xi}) \leq I(\eta, \tilde{\eta}).$$

Сравнивая это соотношение с (13) и (14) видим, что для возможности передачи необходимо, чтобы

121

$$(15) \quad H_W(\xi) \leq C.$$

Это утверждение получило название обратной теоремы Шеннона.

Утверждение прямой теоремы Шеннона о достаточных условиях для возможности передачи носит асимптотический характер. Обычно величины  $H_W(\xi) = H_{WT}(\xi^T)$  и  $C = C^T$  зависят от параметра  $T$ , являющегося временем генерирования сообщения источником и длительностью сигнала на входе и выходе канала. В этих случаях рассматриваются величины

$$(16) \quad \bar{C} = \lim_{T \rightarrow \infty} \frac{1}{T} C^T$$

и

$$(17) \quad \bar{H} = \overline{\lim}_{T \rightarrow \infty} \frac{1}{T} H_{WT}(\xi^T).$$

$\bar{C}$  – также называется пропускной способностью канала,  $\bar{H}$  – скоростью создания сообщений.

Прямая теорема Шеннона утверждает, что в весьма общих ситуациях при выполнении соотношения

$$(18) \quad \overline{\lim}_{T \rightarrow \infty} \frac{H_{WT}(\xi^T)}{C^T} < 1$$

возможно построение передачи.

Для справедливости этого утверждения по существу достаточно выполнения следующих условий: при любых  $\delta_1, \delta_2 > 0$  можно построить пары случайных величин  $(\xi^T, \tilde{\xi}^T)$  и  $(\eta^T, \tilde{\eta}^T)$ , удовлетворяющих соотношениям (2), (6) и (9), такие, что

$$(19) \quad \overline{\lim}_{T \rightarrow \infty} \frac{I(\xi^T, \tilde{\xi}^T)}{H_{WT}(\xi^T)} \leq 1 + \delta_1, \quad \overline{\lim}_{T \rightarrow \infty} \frac{I(\eta^T, \tilde{\eta}^T)}{C^T} \geq 1 - \delta_1,$$

$$(20) \quad \lim_{T \rightarrow \infty} P \left\{ \left| \frac{i_{\xi^T \tilde{\xi}^T}(\xi^T, \tilde{\xi}^T)}{I(\xi^T, \tilde{\xi}^T)} - 1 \right| < \delta_2 \right\} = 0,$$

$$(21) \quad \lim_{T \rightarrow \infty} P \left\{ \left| \frac{i_{\eta^T \tilde{\eta}^T}(\eta^T, \tilde{\eta}^T)}{I(\eta^T, \tilde{\eta}^T)} - 1 \right| < \delta_2 \right\} = 0,$$

Сообщества случайных величин  $(\xi^T, \tilde{\xi}^T)$  и  $(\eta^T, \tilde{\eta}^T)$ , для которых выполнены соотношения (20) и (21), соответственно, называются информационно устойчивыми.

122

Как известно [3, 4] выполнение соотношений (19) и (20) приводит к тому, что при любом  $\delta > 0$  для достаточно больших  $T$  существует  $2^{H_{W^T}(\zeta^T)(1+\delta)}$  значений воспроизводимых сообщений, такие, что по ним с верностью  $W^T$  мы можем воспроизвести генерируемое источником сообщение, а выполнение условий (19) и (21) приводит к тому, что при достаточно большом  $T$  существует  $2^{C^T(1-\delta)}$  значений сигнала на входе канала, которые мы можем восстановить с как угодно малой вероятностью ошибки по значениям сигналов на выходе канала.

Более того, Шеннон [5] показал, что если  $M$  возможных значений входных сигналов образуются путем независимой выборки с распределением  $P_{\eta^T}$ , то при восстановлении входных сигналов по значениям выходных сигналов вероятность ошибки, усредненная по ансамблю таких выборок, удовлетворяет неравенству

$$(22) \quad P_{\text{ош}} \leq P\{\hat{\eta}_T(\eta^T, \hat{\eta}^T) \leq \log M + \Theta\} + e^{-\Theta},$$

где  $\Theta > 0$  – произвольное число.

Отсюда, в частности, видно, что если число сообщений меньше  $2^{C^T(1-\delta)}$ ,  $\delta > 0$ ,  $T \rightarrow \infty$  и выполнено (19) и (21), то мы можем передать сообщения при сколь угодно малой вероятности ошибки при воспроизведении.

Важно отметить, что в свою очередь, соотношения (19)–(21) имеют место при весьма слабых ограничениях на каналы и источники; этими ограничениями могут, например, являться эргодичность в определенном смысле источника и канала и конечность пределов  $\bar{C}$  и  $\bar{H}$ . Разнообразные предположения, при выполнении которых доказывается теорема Шеннона, обычно оказываются частными случаями такой эргодичности. Идея доказательства справедливости соотношений (19) и (21) хорошо иллюстрируется случаем, когда сигнал на выходе  $\hat{\eta}(t)$  представляется в виде сигнала на входе и независимого его стационарного шума  $\zeta(t)$ , т.е.

$$(23) \quad \hat{\eta}(t) = \eta(t) + \zeta(t),$$

а ограничения на входной сигнал сводятся к некоторым ограничениям на распределения случайных величин  $\eta(t)$  (например, среднее значение квадрата  $\eta(t)$  не больше  $P_c$ ,  $E\eta^2(t) \leq P_c$ ). В этом случае для справедливости (19) и (21), а тем самым и теоремы Шеннона достаточно, чтобы шум  $\zeta(t)$  был вполне эргодическим и

$$(24) \quad \bar{C} = \lim_{T \rightarrow \infty} \frac{1}{T} C^T < \infty.$$

Процесс  $\zeta(t)$  называется *вполне эргодическим*, если при любом  $T > 0$  эргодична двусторонняя последовательность случайных величин

$$\dots, \beta_{-1}, \beta_0, \beta_1, \beta_2, \dots, \beta_k, \dots,$$

где

$$\beta_k = \zeta_{kT}^{(k+1)T} = \{\zeta(t); kT < t \leq (k+1)T\}$$

(вполне эргодическим будет, например, процесс с перемещиванием). Для получения соотношений (19) и (21) надо рассмотреть случайный процесс  $\eta(t)$  такой, что случайные величины

$$v_k = \eta_{kT}^{(k+1)T} = \{\eta(t); kT < t \leq (k+1)T\}, \quad k = 0, \pm 1, \pm 2, \dots$$

независимы, имеют одно и тоже распределение вероятностей и

$$(25) \quad I(v_k, \tilde{v}_k) = I(\eta_{kT}^{(k+1)T}, \tilde{\eta}_{kT}^{(k+1)T}) > (\bar{C} - \delta)T,$$

где

$$\tilde{v}_k = \tilde{\eta}_{kT}^{(k+1)T} = \{\tilde{\eta}(t); kT < t \leq (k+1)T\}, \quad \tilde{\eta}(t) = \eta(t) + \zeta(t).$$

Как известно (см. [6]), совокупность пар  $(v_k, \tilde{v}_k)$  образует эргодический процесс и

$$(26) \quad \lim_{k \rightarrow \infty} P \left\{ \left| \frac{i_{\eta_0^{kT} \tilde{\eta}_0^{kT}}(\eta_0^{kT}, \tilde{\eta}_0^{kT})}{I(\eta_0^{kT}, \tilde{\eta}_0^{kT})} - 1 \right| < \delta_2 \right\} = 0, \quad \delta_2 > 0.$$

Кроме того, используя независимость случайных величин  $v_k$  и проводя элементарные преобразования информации, имеем

$$(27) \quad I(\eta_0^{kT}, \tilde{\eta}_0^{kT}) \geq kI(\eta_0^T, \tilde{\eta}_0^T) > kT(\bar{C} - \delta).$$

Из (24), (26) и (27) очевидно вытекает (19) и (21).

Аналогично доказывается, что соотношения (19) и (20) справедливы для источников, генерирующих стационарный вполне эргодический процесс  $\xi(t)$ , для которого условия верности сводятся к ограничениям на распределения вероятностей пары случайных величин  $(\xi(t), \tilde{\xi}(t))$

$$(28) \quad P_{\xi(t)\tilde{\xi}(t)} \in W_t = W,$$

$(W_t$  не зависит от  $t$ ), и при некотором  $\tau > 0$

$$(29) \quad I(\xi_0^\tau, \tilde{\xi}_0^\tau) < \infty.$$

В этом случае строится процесс  $\tilde{\xi}(t)$  такой, что при любом целом  $k$  случайные величины

$$\mu_k = \xi_{kT}^{(k+1)T}, \quad \tilde{\mu}_k = \tilde{\xi}_{kT}^{(k+1)T}, \quad \{\xi(t), \tilde{\xi}(t); -\infty < t \leq kT, (k+1)T < t < \infty\}$$

образуют цепь Маркова (т.е. при фиксированной реализации процесса  $\xi(t)$  случайные величины  $\dots, \xi_{-T}^0, \xi_0^T, \xi_T^{2T}, \dots$  становятся независимыми) и пары случайных величин  $(\mu_k, \tilde{\mu}_k)$   $k = 0, \pm 1, \dots$  имеют одно и то же распределение

124

вероятностей. Отличие от канала здесь будет состоять лишь в том, что соотношение (27) заменяется на

$$(30) \quad I(\xi_0^{kT}, \tilde{\xi}_0^{kT}) \leq kT(\xi_0^T, \tilde{\xi}_0^T).$$

Из (29) и (30) вытекает, что существует предел

$$(31) \quad \bar{H} = \lim_{T \rightarrow \infty} \frac{1}{T} H_{W^T}(\xi^T) \leq \frac{1}{\tau} I(\xi_0^T, \tilde{\xi}_0^T) < \infty.$$

Сочетание соотношений (30) и (31) приводит к выражению аналогичному (27)

$$(32) \quad I(\xi_0^{kT}, \tilde{\xi}_0^{kT}) \leq kI(\xi_0^T, \tilde{\xi}_0^T) < kT(\bar{H} + \delta).$$

Следует отметить, что само требование эргодичности или хотя бы стационарности для выполнения (20) и (21) не является необходимым. Так, например, для гауссовых источников и каналов для выполнения (20) и (21) необходимо и достаточно, чтобы

$$(33) \quad \lim_{T \rightarrow \infty} H_{W^T}(\xi_0^T) = \infty, \quad \lim_{T \rightarrow \infty} C^T = \infty.$$

Как известно [1–3], канал называется гауссовским, если условное распределение  $P_{y|y} = P_{\tilde{\eta}|\eta}$  гауссовское, а ограничение на распределении сигналов  $\eta$  сводится к ограничениям на первые и вторые моменты. Например, для каналов вида (23), будут гауссовскими, если шум  $\zeta(t)$  гауссовский процесс и ограничение на входной сигнал сводится к ограничению на среднюю мощность (10). Сообщение называется гауссовским, если случайная величина  $\xi$  – гауссовская, а ограничение на совместное распределение  $P_{\xi\tilde{\xi}} \in W$  сводится к ограничениям на первые и вторые моменты пар случайных величин  $(\xi, \tilde{\xi})$ . Например, сообщение  $\xi = \xi_0^T = \{\xi(t); 0 \leq t \leq T\}$  будет гауссовским, если порождающий его случайный процесс  $\xi(t)$  гауссовский, а условия верности воспроизведения сводятся к (8) или к

$$(34) \quad E \int_{-\infty}^{T+\tau} a(t)(\xi(t-\tau) - \tilde{\xi}(t-\tau))^2 dt \leq \epsilon^2, \quad -\infty < \tau < \infty,$$

где  $a(t)$  – вещественная функция.

Указанные результаты для гауссовых источников и каналов вытекают из того, что для информационной устойчивости гауссовых пар случайных величин  $(\alpha^T, \tilde{\alpha}^T)$  необходимо и достаточно выполнения условия

$$(35) \quad \lim_{T \rightarrow \infty} I(\alpha^T, \tilde{\alpha}^T) = \infty.$$

Неравенство (22) полезно не только для обоснования теоремы Шеннона, но и для получения весьма общих оценок вероятности ошибок. Проиллюстрируем

это на примере гауссовых каналов. Информационная плотность пары  $(m+n)$ -мерных гауссовых случайных величин  $(\alpha, \tilde{\alpha}) = (\alpha_1, \dots, \alpha_m, \tilde{\alpha}_1, \dots, \tilde{\alpha}_n)$  допускает представление

$$(36) \quad i_{\alpha\tilde{\alpha}}(\alpha, \tilde{\alpha}) = \sum_{j=1}^k (\beta_j^2 - \tilde{\beta}_j^2) \sqrt{\lambda_j} - \frac{1}{2} \sum_{j=1}^k \log(1 - \lambda_j),$$

где  $0 \leq \lambda_j < 1$ ;  $k \leq \min(m, n)$ ;  $\beta_j, \tilde{\beta}_j, j = 1, \dots, k$  — независимые гауссовые случайные величины с нулевым средним и единичной дисперсией и

$$(37) \quad -\frac{1}{2} \sum_{i=1}^k \log(1 - \lambda_i) = I(\alpha, \tilde{\alpha}).$$

Выражение (36) может быть получено следующим образом. Как известно [2], после надлежащих невырожденных линейных преобразований случайных величин  $\alpha_1, \dots, \alpha_m$  и  $\tilde{\alpha}_1, \dots, \tilde{\alpha}_n$  полученные случайные величины  $\alpha'_1, \dots, \alpha'_m$  и  $\tilde{\alpha}'_1, \dots, \tilde{\alpha}'_n$  за исключением пар  $(\alpha'_j, \tilde{\alpha}'_j)$  независимы, а тогда

$$(38) \quad i_{\alpha\tilde{\alpha}}(\alpha, \tilde{\alpha}) = i_{\alpha'\tilde{\alpha}'}(\alpha', \tilde{\alpha}') = \sum_{j=1}^k i_{\alpha'_j\tilde{\alpha}'_j}(\alpha'_j, \tilde{\alpha}'_j).$$

Но для гауссовой пары  $(\alpha'_j, \tilde{\alpha}'_j)$  одномерных случайных величин, выражение для информационной плотности находится непосредственно

$$(39) \quad i_{\alpha'_j\tilde{\alpha}'_j}(\alpha'_j, \tilde{\alpha}'_j) = (\beta_j^2 - \tilde{\beta}_j^2) \sqrt{\lambda_j} - \frac{1}{2} \log(1 - \lambda_j) = (\beta_j^2 - \tilde{\beta}_j^2) \sqrt{\lambda_j} + I(\alpha'_j, \tilde{\alpha}'_j),$$

где  $0 \leq \lambda_j < 1$  — коэффициенты корреляции случайных величин  $\alpha'_j$  и  $\tilde{\alpha}'_j$ . Нетрудно показать, что  $\lambda_j$  при  $\det N \neq 0$  суть корни уравнений

$$(40) \quad \det(Q - SN^{-1}S') = 0,$$

где  $\begin{pmatrix} Q & S' \\ S & N \end{pmatrix}$ ,  $Q, N$  — матрицы ковариаций случайных величин  $(\alpha, \tilde{\alpha})$ ,  $\alpha$  и  $\tilde{\alpha}$ , соответственно.

Вообще для любой гауссовой пары  $(\alpha, \tilde{\alpha})$  случайных величин (не обязательно конечномерных) имеют место две альтернативы:

1. вероятностная мера  $P_{\alpha\tilde{\alpha}}$  сингулярна относительно произведения мер  $P_\alpha \cdot P_{\tilde{\alpha}}$ ;
2. вероятностная мера  $P_{\alpha\tilde{\alpha}}$  абсолютно непрерывна относительно меры  $P_\alpha \cdot P_{\tilde{\alpha}}$  и информационная плотность выражается в виде (36) (где  $k$  может принимать как конечные так и бесконечные значения).

Сочетая (22) и (36) можно легко получить следующую оценку для оптималь-

126 ной вероятности ошибки для произвольного гауссовского канала

$$(41) \quad P_{\text{ош}} \leq \gamma e^{-(C - \log M)^2/4C},$$

где  $M$  — число значений сигналов, в которых кодируется передаваемое сообщение,  $\gamma$  — некоторое число, не зависящее от канала и от числа  $M$ . В частности, если  $C = T\bar{C}$  и  $\log M = \bar{R}T$ , то формула (41) принимает вид

$$(42) \quad P_{\text{ош}} \leq \gamma e^{-T(\bar{C} - \bar{R})^2/4\bar{C}}.$$

Знание асимптотики распределения чисел  $\lambda_j$  позволяет, естественно, получить более сильные оценки для  $P_{\text{ош}}$ , чем (41).

В ряде случаев такую асимптотику нетрудно получить; например, пусть  $(x(t), \tilde{x}(t))$  — двумерный гауссовский стационарный процесс дискретного аргумента;

$$A(\omega) = \begin{pmatrix} f_{xx}(\omega) & f_{x\tilde{x}}(\omega) \\ f_{\tilde{x}x}(\omega) & f_{\tilde{x}\tilde{x}}(\omega) \end{pmatrix}$$

матрица производных спектральных функций; тогда если

$$\int |\log f_{x\tilde{x}}(\omega)| d\omega < \infty$$

(т.е. процесс  $x(t)$  несингулярен), то в точках непрерывности функции

$$r^2(\omega) = \frac{|f_{\tilde{x}\tilde{x}}(\omega)|^2}{f_{xx}(\omega)f_{\tilde{x}\tilde{x}}(\omega)}$$

для пары случайных величин  $(x_0^T, \tilde{x}_0^T)$

$$(43) \quad \zeta(\lambda) = \frac{T}{2\pi} \mu(\omega : r^2(\omega) > \lambda) + O(T),$$

где  $\zeta(\lambda)$  — число  $\lambda_j$  больших  $\lambda$ , а  $\mu(\omega : \cdot)$  — мера Лебега множества точек  $\omega$ .

Этот результат может быть использован для оценки асимптотики вероятности ошибки для гауссовского канала со стационарным шумом вида (23), когда  $\zeta(t)$  — стационарный гауссовский процесс.

Доказательство (43) проводится аналогично теоремам Сеге [21] об асимптотике собственных значений матриц Тэплица. На этом мы здесь останавливаться не будем.

### 3. КОДИРОВАНИЕ И ДЕКОДИРОВАНИЕ ДЛЯ ДИСКРЕТНЫХ СООБЩЕНИЙ КАНАЛОВ

Обсуждение проблемы кодирования и декодирования для дискретных систем связи мы проведем на примере двоичного симметричного канала без памяти

и сообщения образованного последовательностями двоичных символов 0, 1, появляющихся независимо и с вероятностями  $p(0) = p(1) = \frac{1}{2}$ ; критерием верности является вероятность неправильного воспроизведения информационных символов.

Ограничение рассмотрений таким примером вызвано только удобством и простотой изложения. Приведенные ниже факты легко переносятся на общий случай передачи информации.

Сигналы на входе и выходе двоичного симметричного канала без памяти образуются последовательностями двоичных символов 0, 1

$$\text{вход: } 1010\dots = y_1y_2y_3y_4\dots$$

$$\text{выход: } 0010\dots = \tilde{y}_1\tilde{y}_2\tilde{y}_3\tilde{y}_4\dots,$$

а условные вероятности для такого канала представляются в виде

$$(44) \quad p(\tilde{y}_1, \dots, \tilde{y}_n | y_1, \dots, y_n) = p(\tilde{y}_1 | y_1) \dots p(\tilde{y}_n | y_n),$$

$$p(1 | 1) = p(0 | 0) = q; \quad p(1 | 0) = p(0 | 1) = p = 1 - q,$$

$p$  — вероятность ошибки.

Таким образом ошибки в канале возникают независимо и с вероятностью  $p$ . Сигнал на выходе  $\tilde{y} = (\tilde{y}_1 \dots \tilde{y}_n)$  такого канала можно представить как по-компонентную сумму по  $\text{mod } 2$  значений сигнала на входе  $y = (y_1 \dots y_n)$  и независимого от него шума  $z = (z_1 \dots z_n)$

$$\tilde{y}_i = y_i + z_i,$$

где символы  $z_1, \dots, z_n$  появляются независимо с вероятностями

$$p(z_i) = \begin{cases} q & \text{при } z_i = 0, \\ p & \text{при } z_i = 1. \end{cases}$$

Для этого канала

$$(45) \quad \bar{C} = 1 + p \log_2 p + q \log_2 q.$$

Задачу кодирования мы будем формулировать следующим образом: пусть в единицу времени по каналу передается один символ, а символы генерируемы источником поступают через равные промежутки времени  $1/\bar{R} \geq 1$ , так что в момент времени  $k$  будет известно  $[k\bar{R}] + 1$  информационных символов. Кодирование задает закон, по которому по символам, генерированным источником, к  $k$ -му моменту времени строится  $k$ -ый символ  $y_k$  сигнала на выходе канала. Математически это сводится к заданию функции

$$(46) \quad y_k = f_k(x_1, \dots, x_{[k\bar{R}]+1}), \quad k = 1, 2, \dots$$

- 128 от  $[kR]$  + 1 аргументов. После передачи по каналу последовательность  $y_1, y_2, \dots$  переходит в последовательность  $\tilde{y}_1, \tilde{y}_2, \dots$ . Декодирование задает закон, по которому по выходной последовательности  $\tilde{y}_1, \tilde{y}_2, \dots$  строится выходное сообщение. Математически это сводится к заданию функции

$$(47) \quad \tilde{x}_l = \varphi_l(\tilde{y}_1, \tilde{y}_2, \dots).$$

При этом говорят, что декодирование производится с равномерно ограниченной задержкой  $s$ , если время между поступлением  $l$ -го символа сообщения  $l = [kR] + 1$  и его декодированием, не более чем  $s$ , т.е.

$$(48) \quad \tilde{x}_l = \varphi_l(\tilde{y}_1, \dots, \tilde{y}_k, \dots, \tilde{y}_{k+s}).$$

Теорема Шеннона утверждает, что при  $R < \bar{C}$ , существует кодирование и декодирование, такие, что с вероятностью  $P = 1 - \bar{P}_{\text{ош}}$ , сколь угодно близкой к единице, символ  $\tilde{x}_l$  совпадает с  $x_l$ .

Проблема заключается в построении простых функций  $f_k$  и  $\varphi_l$ , при этом желательно, чтобы с увеличением задержки  $s$  вероятность ошибки  $\bar{P}_{\text{ош}}$  стремилась к нулю оптимальным или близким к оптимальному образом.

Открытие „групповых кодов“ (см. [11]) позволило весьма эффективно решать проблему кодирования. Поясним это на примере блокового кодирования. При блоковом кодировании подлежащая передаче информационная последовательность двоичных символов  $x_1, x_2, \dots$  разбивается на блоки длины  $m = nR$ , а последовательность символов на входе канала на блоки длины  $n$ . Среди  $2^n$  блоков-возможных значений сигналов длины  $n$ , выбираем  $2^m$  различных блоков, в которые кодируем (сопоставляем) блоки информационной последовательности. Кодирование является групповым линейным, если информационная последовательность  $x = (x_1 \dots x_m)$  образованная покомпонентным сложением по mod 2 двух других последовательностей

$$x^1 = (x_1^1 \dots x_m^1) \quad \text{и} \quad x^2 = (x_1^2 \dots x_m^2),$$

кодируется в блок на входе канала  $y = (y_1 \dots y_n)$ , являющимся покомпонентной суммой по mod 2 блоков на входе канала, соответствующих  $x^1$  и  $x^2$ . Известно, что в этом случае кодирование можно представить в виде произведения матрицы  $A$  на вектор – столбец  $x'$

$$(49) \quad \begin{aligned} y' &= Ax' = \begin{pmatrix} a_{11} & \dots & a_{1m} \\ \dots & \dots & \dots \\ a_{n1} & \dots & a_{nm} \end{pmatrix} \begin{pmatrix} x_1 \\ \vdots \\ x_m \end{pmatrix}, \\ x' &= \begin{pmatrix} x_1 \\ \vdots \\ x_m \end{pmatrix}, \quad y' = \begin{pmatrix} y_1 \\ \vdots \\ y_n \end{pmatrix}, \end{aligned}$$

где элементы  $a_{ij}$  матрицы  $A$  принимают значения 0 и 1: суммирование ведется по mod 2. Задержка при декодировании ограничена числом  $n$ . При этом если матрица  $A$  невырождена, то не меняя вероятности ошибки декодирования блока, мы можем матрицу  $A$  преобразовать к виду

$$a_{ij} = \begin{cases} 1 & \text{при } i = j ; \\ 0 & \text{при } i \neq j; \quad i, j \leq m . \end{cases}$$

В этом случае результат умножения  $Ax'$  представится в виде

$$(50) \quad y' = Ax' = \begin{pmatrix} x_1 \\ \vdots \\ x_m \\ \sum_{i=1}^m a_{(m+1)i} x_i \\ \vdots \end{pmatrix},$$

т.е. первые  $m$  символов кодового блока  $y = (y_1 \dots y_n)$  совпадают с символами сообщения, а остальные являются их линейными комбинациями. Эти первые  $m$  символов называются информационными, а остальные проверочными. Кодирование, допускающее разделение кодовых символов на информационные и проверочные называется систематическим.

Заметим, что (при фиксированном  $m/n = R$ ) при случайной и независимой выборке элементов  $a_{ij}$ ,  $i > m$ , с вероятностями  $p(0) = p(1) = \frac{1}{2}$  вероятность неправильного декодирования кодовых блоков, осредненная по всему ансамблю матриц  $A$ , убывает по экспоненте с ростом  $n$ . Эта экспонента совпадает с экспонентой вероятности ошибки при случайном независимом выборе (с вероятностями  $p(y_1, \dots, y_n) = 2^{-n}$ )  $2^m$  кодовых блоков из  $n$  символов.

Декодирование проводится по критерию максимума апостериорной вероятности.

Среди групповых кодов выделяют подклассы кодов столь же оптимальных с точки зрения вероятности ошибки, но обладающих еще большой простотой кодирования.

Нетрудно убедиться, что умножение  $Ax'$  требует числа арифметических операций, растущего степенным образом с ростом  $n$ . Однако, оптимальное декодирование (по критерию минимума апостериорной вероятности) требует, вообще говоря, сравнения последовательности на выходе канала  $\hat{y}_1 \dots \hat{y}_n$  со всеми возможными входными последовательностями. За переданную принимается та, которая отличается от принятой в наименьшем числе символов. Число всех возможных кодовых последовательностей  $y_1 \dots y_n$  равно  $2^m = 2^{Rn}$  и число сравнений экспоненциально растет с ростом  $n$ . При больших  $n$  такой перебор при декодировании становится практически невозможным.

Одной из наиболее интересных и перспективных процедур декодирования является метод последовательного декодирования, развитый Возенкрафтом и Райфеном [10]. Изложенная ими процедура позволила разработать такие методы группового кодирования для которых число операций при декодировании одного информационного символа растет не быстрее, чем степенным образом с ростом задержки  $s$ , а вероятность неправильного декодирования  $P_{\text{ош}}$  экспоненциально убывает с ростом  $s$ . Под числом операций при декодировании мы будем в дальнейшем понимать среднее число сравнений последовательностей на выходе канала с кодовыми комбинациями на входе канала. Определенное таким образом число операций может быть выражено через среднее число арифметических операций, выполняемых при декодировании. Алгоритм декодирования, подробно разобранный в книге Возенкрафта и Райфена [10], требует все же экспоненциального роста числа операций с  $s$ , однако небольшое видоизменение этого алгоритма приводит к желаемому степенному росту. Результаты моделирования алгоритма, указанного в [10], оказались весьма благоприятными.

Следует заметить, что в публикациях, посвященных последовательному декодированию [10, 12–14] (а также другим методам декодирования [15]), такой рост числа операций с ростом  $s$  был получен для скоростей передачи  $\bar{R}$  меньших некоторого  $R_{\text{выч}} < \bar{C}$ . Для дискретного канала без памяти значения этого порога  $R_{\text{выч}}$ , рассматриваемые в указанных работах, оцениваются сверху выражением

$$(51) \quad R_{\text{выч}} \leq \bar{R}_{\text{выч}} = \max_{p_i} \left\{ -\log \sum_j \left[ \sum_i p_i \sqrt{p_{j|i}} \right]^2 \right\},$$

где  $p_i$  — вероятности символов на входе канала,  $p_{j|i}$  — вероятности перехода. Для двоичного симметричного канала формула (51) принимает вид

$$(52) \quad \bar{R}_{\text{выч}} = \bar{R}_{\text{выч}}(p) = -\log \frac{1}{2} (1 + 2 \sqrt{[p(1-p)]}).$$

Легко убедиться, что при  $p \rightarrow \frac{1}{2}$  значения  $\bar{R}_{\text{выч}}$  сходятся к  $\frac{1}{2}\bar{C}$ .

Мы покажем ниже, что для любых скоростей передачи  $\bar{R}$ , меньших пропускной способности  $\bar{C}$ , можно построить методы кодирования такие, что число операций при декодировании одного информационного символа будет меньше некоторой константы, не зависящей от вероятности ошибки  $\varepsilon > 0$  (однако зависящей от скорости передачи  $\bar{R}$ ).

Искомое кодирование будет образовано итерацией группового блокового кодирования и последовательного (сверточного) кодирования, а декодирование итерацией блкового и последовательного декодирования [10, 11, 17].

Для описания этой конструкции нам понадобятся некоторые сведения по последовательному декодированию Возенкрафта и итеративных кодах Элейеса.

Последовательное декодирование предполагает наличие некоторого специального вида кодирования — последовательного кодирования, при котором кодовые последовательности образуют так называемый древовидный код. Поясним построение этого кода, для случая, когда скорость передачи имеет вид  $\bar{R} = 1/r$ , где  $r$  — целое число. Каждой последовательности информационных символов  $x_1 x_2 \dots x_m$  ставим в соответствие последовательность кодовых символов  $y_1 y_2 \dots y_{mr}$  следующим образом. Разбиваем последовательность  $y_1 y_2 \dots y_{mr}$  на „отрезки“ из  $r$  символов  $y_1 \dots y_r; y_{r+1} \dots y_{2r}; y_{(m-1)r+1} \dots y_{mr}$ . Значения кодовых символов из  $m$ -го отрезка  $y_{(m-1)r+1} \dots y_{mr}$  определяются значениями  $m$ -информационных символов  $x_1 \dots x_m$

$$(53) \quad y_{(m-1)r+i} = f_{mi}(x_1, \dots, x_m), \quad i = 1, \dots, r,$$

т.е. из каждого информационного символа  $x_m$  „исходит“  $r$  кодовых символов  $y_{(m-1)r+1} \dots y_{mr}$ .

Построение такого кода для случая  $\bar{R} = \frac{1}{3}$ ,  $m = 4$ ;  $r = 3$ ;  $n = rm = 12$  хорошо иллюстрируется на рис. 1. Здесь каждому информационному символу соответствует три кодовых. Кодовые последовательности служат как бы ветвями дерева; информационные символы в узлах указывают путь следования; ребро этого дерева соответствует трем кодовым символам, написанным сверху этого ребра. Например, информационной последовательности: 1011 соответствует кодовая последовательность: 111 011 101 101. Для такого кода характерно, что две информационные последовательности, имеющие одни и те же  $k$  начальных информационных символов имеют в соответствующих кодовых последовательностях  $k$  общих начальных символов, а в кодовом дереве  $k$  общих начальных ребер.

Оптимальное декодирование (по критерию максимума апостериорной вероятности) с задержкой  $s$  производится аналогично блоковому декодированию. Для декодирования первого информационного символа  $x_1$  полученная на выходе канала последовательность  $\tilde{y}_1 \dots \tilde{y}_s$  сравнивается со всеми кодовыми последовательностями (ветвями кодового дерева) длины  $s$ . Если ближайшая ветвь (т.е. ветвь, отличающаяся от принятой в минимальном числе символов) соответствует информационной последовательности с первым символом  $\tilde{x}_1$ , то мы принимаем, что  $\tilde{x}_1$  — первый информационный символ; для декодирования второго информационного символа  $x_2$  рассматриваем последовательность  $\tilde{y}_{r+1} \dots \tilde{y}_{r+s}$  и сравниваем ее со всеми кодовыми последовательностями  $\tilde{y}_{r+1} \dots \tilde{y}_{r+s}$  исходящими из узла соответствующему информационному символу  $\tilde{x}_1$ , и т.д.

Имеет место следующая теорема:

*Если значения функций  $y_{(m-1)r+i} = f_{mi}(x_1, \dots, x_m)$  получаются при независимой случайной выборке двух элементов 0 и 1 с вероятностями  $p(0) = p(1) = \frac{1}{2}$ , то*

**132** вероятность неправильного декодирования символа (усредненная по ансамблю кодов) экспоненциально убывает с задержкой  $s$  и эта экспонента не больше экспоненты при случайном блоковом кодировании.

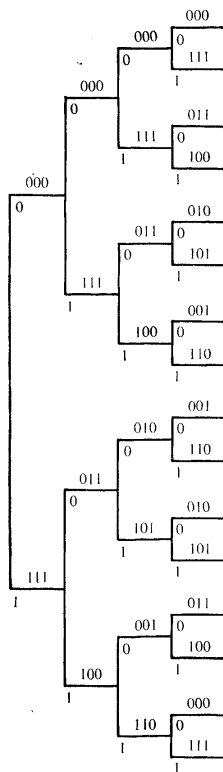


Рис. 1.

Экспонента не изменится, если функция  $f_{mi}$  будет зависеть лишь от  $s/r + 1$  последних информационных символов  $x_{m-s/r} \dots x_m$ . Более того (с сохранением экспоненты вероятности ошибки не большей, чем при блоковом декодировании), кодовое дерево можно построить следующим образом (см. рис. 1). Рассматривается последовательность из  $s$  символов  $u = u_1u_2 \dots u_s$ , называе-

мая генерирующей, такая, что  $u_1 = 1; u_{rj+1} = 0; j = 1, \dots, s/r - 1$ , остальные символы получаются путем независимого и случайного выбора 0 и 1 с вероятностями  $p(0) = p(1) = \frac{1}{2}$ . Далее полагаем

$$\mathfrak{D}^0 u = u; \quad \mathfrak{D} u = \underbrace{0 \dots 0}_{r \text{ нулей}} u_1 \dots u_s; \dots; \quad \mathfrak{D}^m u = \underbrace{0 \dots 0}_{mr \text{ нулей}} u_1 \dots u_s,$$

т.е. знак  $\mathfrak{D}$  означает сдвиг вправо последовательности  $u$  на  $r$  символов. Символ  $y_{(m-1)r+i}$ ,  $i = 1, 2, \dots, r$  определяется как  $(m-1)r + i$ -ый символ в сумме

$$(54) \quad \sum_{j=1}^m x_j \mathfrak{D}^{j-1} u \pmod{2}.$$

Здесь

$$x_j \mathfrak{D}^j u = \begin{cases} \mathfrak{D}^j u & \text{при } x_j = 1, \\ 0 & \text{при } x_j = 0. \end{cases}$$

Очевидно, что не более чем в  $s/r$  последних членах суммы значения  $(m-1)r + i$ -го символа отличны от нуля. Построенный таким образом древовидный код будет систематическим и  $y_{mr+1} = x_{m+1}$ . Код, изображенный на рис. 1, получен именно таким образом с генерирующей последовательностью  $u = 111011010001$  и  $r = 3$ .

Древовидная структура кода позволяет построить пороговую процедуру декодирования, резко сокращающую число операций (перебор) при сохранении экспоненты вероятности неправильного декодирования. Мы ограничимся набросками одного из всевозможных подходов к таким процедурам (см. [10]).

На некоторой длине  $s_1 < s$  принятая последовательность  $\tilde{y}_1 \dots \tilde{y}_{s_1}$  сравнивается с возможными кодовыми последовательностями  $y_1 \dots y_{s_1}$  и отбрасываются те кодовые последовательности, которые находятся от  $\tilde{y}_1 \dots \tilde{y}_{s_1}$  на расстоянии Хемминга,\* большем некоторого порога  $p_1 s_1$ ,  $0 < p < p_1 < \frac{1}{2}$ . Далее оставшиеся кодовые последовательности рассматриваются на длине  $s_2$  и из них выбрасываются те, которые находятся от принятой последовательности на расстоянии  $p_2 s_2$ ,  $0 < p < p_2 < \frac{1}{2}$  и т.д. Последнее сравнение производится на всей длине задержки  $s$ . Если на длине  $s$  останется непустое множество кодовых последовательностей, то за  $\tilde{x}_1$  принимается информационный символ одной последовательности из этого множества. Если же такой кодовой последовательности не оказалось, то процедура повторяется с другими, более слабыми, порогами и т.д. Для декодирования второго информационного символа эту процедуру повторяем для выходной последовательности  $\tilde{y}_{r+1} \dots \tilde{y}_{r+s}$ , причем сравнения производятся только с теми кодовыми последовательностями, которые начинаются с символом  $\tilde{y}_1 \dots \tilde{y}_r$ , соответствующих первому информа-

\* Расстояние Хемминга между двумя двоичными последовательностями — есть число символов, в которых эти последовательности отличны друг от друга.

ционному символу  $\tilde{x}_1$ . Декодирование третьего и т.д. информационного символов производится аналогичным образом.

Как указано в [14] существуют такие модификации последовательного декодирования, что для  $R < \bar{R}_{\text{вы}}(p)$  число операций при декодировании ограничено сверху числом, которое не зависит от задержки  $s$  при экспоненциальном убывании с  $s$  вероятности неправильного декодирования.

$y_{11} \dots y_{1m_1}$	$\dots y_{1n_1}$
$\dots \dots \dots$	$\dots \dots \dots$
$y_{m_2 1} \dots y_{m_2 m_1}$	$\dots y_{m_2 n_1}$
—	—
$\dots \dots \dots$	$\dots \dots \dots$
$y_{n_2 1} \dots y_{n_2 m_1}$	$\dots y_{n_2 n_1}$

Рис. 2.

информационные символы второго кода	проверочные символы первого
проверочные символы второго кода	кода

Рис. 3.

Остановимся теперь на кратном описании систематических итеративных кодах Элайса [11], составленных из двух кодов и являющихся как бы их произведением. Пусть мы имеем два блоковых систематических кода длины  $n_1$  и  $n_2$  с  $m_1$  и  $m_2$  информационными символами. Итеративный код, длины  $n = n_1 n_2$  с  $m_1 m_2$  информационными символами можно представить с помощью прямоугольной матрицы рис. 2 и рис. 3. Строки этой матрицы образуют кодовые последовательности длины  $n_1$  первого кода, а столбцы — кодовые последовательности длины  $n_2$  второго кода; первые  $m_1$  элементов в строке являются информационными символами первого кода, а первые  $m_2$  элементов столбца — информационными элементами второго кода;  $m_1 m_2$  символов прямоугольной матрицы в левом верхнем углу являются информационными символами итеративного кода.

Очевидно, что скорость передачи итеративного кода равна

$$(55) \quad R = \frac{m}{n} = \frac{m_1 m_2}{n_1 n_2} = \frac{m_1}{n_1} \frac{m_2}{n_2} = R_1 R_2,$$

т.е. равна произведению скоростей передачи составляющих кодов.

Рис. 2 нам удобно представить схематическим рис. 3. Если второй код — дробивидный (сверточный), в котором информационные символы перемежаются с проверочными, то вместо рис. 3 удобно пользоваться рис. 4.

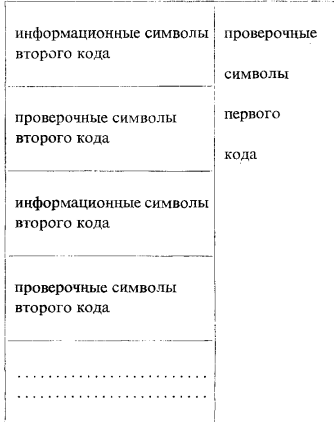


Рис. 4.

Приступим теперь к описанию конструкции кодирования и декодирования обеспечивающей при любых  $\bar{R} < \bar{C}$ , ограниченность числа операций при декодировании независимо от вероятности неправильного декодирования  $\varepsilon$ .

Рассмотрим отношение

$$(56) \quad \frac{\bar{R}_{\text{вын}}(p)}{\bar{C}} = \frac{-\log \frac{1}{2}(1 + 2\sqrt{(p(1-p))})}{1 + p \log_2 p + (1-p) \log_2 (1-p)}.$$

График зависимости этого отношения от  $p$  имеет вид, указанный на рис. 5.

Пусть задана скорость  $\bar{R} < \bar{C}$ . Выберем  $\bar{R}_1 < \bar{C}$  и  $\bar{R}_2 < 1$  так, чтобы  $\bar{R}_1 \bar{R}_2 = \bar{R}$  и целое число  $n_1$  столь большим, чтобы блоковый код длины  $n_1$  с  $m_1 = [n_1 \bar{R}_1] + 1$  информационными символами обеспечивал при декодировании вероятность ошибки, меньшую некоторого числа  $p'$ .

Далее выберем  $p'$  столь малым, чтобы для двоичного симметричного канала с переходной вероятностью ошибки  $p'$  скорость  $\bar{R}_2$  была бы меньше  $\bar{R}_{\text{вын}}(p')$ .

В соответствии с рис. 4 построим итеративный код так, чтобы кодовые слова блокового кода, образованные строками матрицы рис. 4 содержали  $n_1$  элементов, в которых  $m_1 = [n_1 \bar{R}_1] + 1$  информационные и обеспечивали вероятность ошибки на символ меньшую  $p'$ ; а столбцы матрицы образовывались элемента-

136 ми древовидного кода со скоростью передачи  $\bar{R}_2$ . Для построенного кода

$$(57) \quad \bar{R} = \lim_{n_2 \rightarrow \infty} \frac{m_1 m_2}{n_1 n_2} = \lim_{n_2 \rightarrow \infty} \frac{(\lceil n_1 \bar{R}_1 \rceil + 1) n_2 \bar{R}_2}{n_1 n_2} \geq \bar{R}_1 \bar{R}_2.$$

Декодирование осуществляется по этапам. Сначала исходя из блокового кода производится декодирование по строкам, так что информационные и проверочные символы второго кода с вероятностью  $1 - p'$  восстанавливаются без

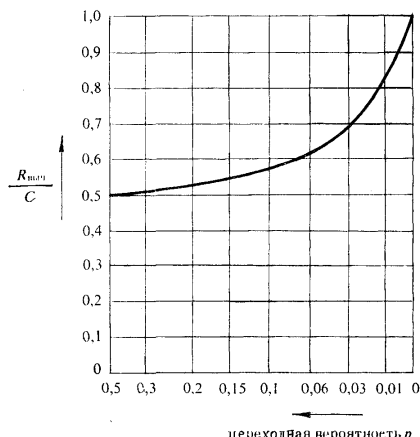


Рис. 5.  $\xleftarrow{\text{переходная вероятность } p}$

ошибки; при этом ошибки в разных символах одного столбца будут независимы. Далее исходя из второго — древовидного кода производится декодирование по столбцам; восстанавливаются информационные символы. Поскольку  $\bar{R}_2 < \bar{R}_{\text{шиф}}(p')$  то можно считать, что число операций  $N_2$  при декодировании на втором этапе не зависит от  $\varepsilon$ . Первый этап (декодирование блокового кода) требует не более чем  $N_1$  операций ( $N_1$  — мощность блокового кода), не зависящем от  $\varepsilon$ .

Таким образом, общее число операций при декодировании на обоих этапах не зависит от  $\varepsilon$  и не превосходит  $N \leq N_1 + N_2$ .

Нетрудно вывести асимптотические оценки порядка дополнительного числа операций  $N_1$ , вносимых блоковым кодом при  $\bar{R} \rightarrow \bar{C}$ . Имеем при  $\bar{R} \rightarrow \bar{C}$ :

$$(58) \quad \begin{aligned} \bar{R}_2 &\rightarrow 1, \quad \bar{R}_1 \rightarrow \bar{C}; \\ \bar{R}_2 &\leq \bar{R}_{\text{шиф}}(p') = -\log \frac{1}{2}(1 + 2\sqrt{(p'(1 - p'))}) \approx 1 - 2\sqrt{p'}; \end{aligned}$$

$$\bar{C} > \bar{R}_1 = \frac{\bar{R}}{\bar{R}_2} \geq \frac{\bar{R}}{1 - 2\sqrt{p'}} \approx \bar{R}(1 + 2\sqrt{p'}) .$$

Как известно [9], существуют блоковые систематические коды, такие, что  $p'$  будет удовлетворять неравенству

$$(59) \quad p' \leq 2^{-m_1\varkappa(\bar{C} - \bar{R}_1)^2},$$

где  $\varkappa > 0$ .

Отсюда

$$\log p' \leq -m_1\varkappa(\bar{C} - \bar{R}_1)^2$$

и следовательно, в соответствии с (58)

$$(60) \quad N_1 = 2^{m_1} \leq 2^{-\log p'/[\varkappa(\bar{C} - \bar{R}_1)^2]} \approx 2^{-\log p'/[\varkappa(\bar{C} - (\bar{R} + 2\sqrt{p'}))^2]}.$$

Положим  $2\sqrt{p'} = \beta(\bar{C} - \bar{R})$ ,  $0 < \beta < 1$ . Из (60) получаем

$$(61) \quad N_1 \approx 2^{-(\log[\beta(\bar{C} - \bar{R})/2]^2)/[\varkappa(1 - \beta)^2(\bar{C} - \bar{R})^2]}.$$

Надо выбрать  $0 < \beta < 1$  так, чтобы правая часть (61) была бы минимальной.

Проблема математически точного и полного определения сложности декодирования, а также получения точных оценок констант, выражающих сложность декодирования, требует дальнейших исследований.

До сих пор мы акцентрировали свое внимание на вопросах сложности кодирования и декодирования на входе и выходе канала. Аналогичная проблема возникает в задаче (двойственной кодированию) квантования (кодирования) сообщений источника при критерии верности воспроизведения, отличном от полного воспроизведения. Рассмотрим эту проблему на примере сообщения  $\xi = (\xi_1, \dots, \xi_n)$  образованного последовательностями независимых равновероятных двоичных символов  $x = (x_1 \dots x_n)$  с совпадающими пространствами  $X = \tilde{X}$  (значений сообщения на выходе источника  $\xi$  и воспроизводимого сообщения  $\tilde{\xi}$ ). Критерий верности воспроизведения задается условием

$$(62) \quad \frac{1}{n} \sum_{i=1}^n P(\xi_i \neq \tilde{\xi}_i) \leq \varepsilon.$$

Скорость создания сообщений ( $\varepsilon$ -энтропия) в этом случае равна

$$(63) \quad H_\varepsilon = \min \frac{1}{n} I(\xi, \tilde{\xi}) = 1 + \varepsilon \log \varepsilon + (1 - \varepsilon) \log (1 - \varepsilon),$$

где минимум берется по парам случайных величин  $(\xi, \tilde{\xi})$ , удовлетворяющих (62).

Квантованием  $\mathfrak{M}$  объема  $K$  сообщения  $\xi$  назовем любое множество  $\mathfrak{M}$  последовательностей  $\tilde{x}^i = (\tilde{x}_1^i \dots \tilde{x}_n^i)$ ,  $i = 1, \dots, K$ . Кодированием (нерандом-

мизированным) с квантованием  $\mathfrak{M}$  называется отображение множества  $X$  (всех двоичных последовательностей), на множество  $\mathfrak{M}$ : кодирование задается функцией, определенной на множестве  $X$  и принимающей значения из множества  $\mathfrak{M}$

$$(64) \quad \tilde{x} = f(x); \quad x \in X, \quad \tilde{x} \in \mathfrak{M}.$$

Задача кодирования может быть поставлена следующим образом: построить квантование  $\mathfrak{M}$  наименьшего объема (т.е. множество  $\mathfrak{M}$  с наименьшим числом точек) и функцию  $f$  таким образом, чтобы для пары случайных величин  $(\xi, \tilde{\xi})$ , где  $\tilde{\xi} = f(\xi)$ , было выполнено условие (62).

Имеет место следующая теорема. *Существует квантование объема  $K = 2^{nH_e + O(\log n)}$ , т.е.*

$$(65) \quad \log K = n\bar{H}_e + O(\log n),$$

*и кодирование, задаваемое (64), такие, что для пары  $(\xi, \tilde{\xi})$  выполнены условия верности воспроизведения (62). Множество  $\mathfrak{M}$  двоичных последовательностей  $\tilde{x} = (\tilde{x}_1 \dots \tilde{x}_n)$  можно выбрать так, чтобы оно образовало группу при покомпонентном сложении по мод 2. Обратно, по теореме Шеннона, не существует квантования объема  $K < 2^{n\bar{H}_e}$  удовлетворяющего (62).*

При заданном  $\mathfrak{M}$  оптимальное кодирование (т.е. кодирование с минимальным значением  $\sum_{i=1}^n P(\xi_i + \tilde{\xi}_i)$ ) задается функцией

$$(66) \quad \tilde{x} = f(x), \quad |\tilde{x} - x| = \min_{x' \in \mathfrak{M}} |\tilde{x}' - x|,$$

где  $|\tilde{x} - x| = \sum_{i=1}^n |\tilde{x}_i - x_i|$  — расстояние Хемминга между последовательностями  $\tilde{x}$  и  $x$ , т.е. для того, чтобы закодировать последовательность  $x = (x_1 \dots x_n) \in X$  надо сопоставить ей точку множества  $\mathfrak{M}$ , находящуюся от нее на минимальном расстоянии Хемминга. Кодирование может быть осуществлено путем сравнения  $x$  со всеми точками  $\tilde{x}' \in \mathfrak{M}$ , и оставлением той точки  $\tilde{x}$ , до которой расстояние минимальное. Так как число элементов множества  $\mathfrak{M}$  экспоненциально растет с ростом  $n$ , то при таком кодировании число операций (сравнений  $x$  с точками  $\tilde{x}$  множества  $\mathfrak{M}$ ) экспоненциально растет с  $n$ . Проблема построения простых методов кодирования сообщений остается открытой.

Интересно отметить, что в некоторых случаях канал как бы „согласован“ с сообщением и передача сообщений не требует специального квантования и кодирования на входе канала. Например, пусть условие верности воспроизведения задается условием (62), а канал двоичный симметричный с  $p = e$ . Поскольку передача сообщения  $\xi$  по каналу, т.е. передача, при которой  $y_i = x_i$ ,  $\tilde{y}_i = \tilde{x}_i$ ,  $i = 1, \dots, n$  обеспечивает выполнение условия (62). Отметим, что в этом

случае  $\bar{H}_\varepsilon = \bar{C}$ , так что никакой иной способ передачи, включающий кодирование и квантование, не может дать меньшего значения  $\varepsilon$ .

Некоторые подходы к такому соглашению будут обсуждены в следующем параграфе.

#### 4. КОДИРОВАНИЯ И ДЕКОДИРОВАНИЯ ДЛЯ НЕПРЕРЫВНЫХ СООБЩЕНИЙ И СИГНАЛОВ

К настоящему времени определились некоторые эффективные подходы к решению проблемы передачи гауссовских сообщений по гауссовскому каналу.

В этом параграфе мы ограничимся рассмотрением проблемы кодирования и декодирования для следующей системы передачи информации. Будем считать, что источник генерирует гауссовский стационарный случайный процесс  $\xi(t)$  непрерывного аргумента со спектральной плотностью  $f_{\xi\xi}(\omega)$ , а верность воспроизведения задается среднеквадратичным критерием (8), где  $\tilde{\xi}(t)$  — значения воспроизводимых сообщений в момент времени  $t$ . Канал представляется в виде (23), где  $\zeta(t)$  — гауссовский стационарный случайный процесс со спектральной плотностью  $f_{\zeta\zeta}(\omega)$ . Ограничения на входной сигнал  $\eta(t)$  состоят в ограничении его средней мощности (10).

Передачу можно представить себе следующим образом: процесс (сообщение)  $\xi(t)$  кодируется в процесс (сигнал) на входе канала  $\eta(t)$ , в канале  $\eta(t)$  подвергается действию гауссовского шума  $\zeta(t)$  независимого от  $\eta(t)$ . На выходе канала мы получаем процесс (сигнал)  $\tilde{\eta}(t) = \eta(t) + \zeta(t)$ , который декодируется в процесс (сообщение)  $\tilde{\xi}(t)$ . Среди методов кодирования и декодирования для непрерывных сообщений и каналов особое место занимают так называемые линейные методы; их теория проста и достаточно хорошо разработана. В рассматриваемом случае линейное кодирование и декодирование можно определить с помощью вещественных функций  $A(\tau)$  и  $B(\tau)$

$$(67) \quad \eta(t) = \int_{-\infty}^{\infty} A(\tau) \xi(t - \tau) d\tau,$$

$$(68) \quad \tilde{\xi}(t) = \int_{-\infty}^{\infty} B(\tau) \tilde{\eta}(t - \tau) d\tau,$$

или, переходя к спектральным представлениям,

$$(69) \quad \eta(t) = \int_{-\infty}^{\infty} e^{it\omega} \Phi_\eta(d\omega) = \int_{-\infty}^{\infty} e^{it\omega} a(\omega) \Phi_\xi(d\omega),$$

$$(70) \quad \tilde{\xi}(t) = \int_{-\infty}^{\infty} e^{it\omega} \Phi_{\tilde{\xi}}(d\omega) = \int_{-\infty}^{\infty} e^{it\omega} b(\omega) \Phi_{\tilde{\eta}}(d\omega),$$

где  $\Phi_x(\omega)$  — спектральная случайная мера стационарного процесса  $x(t)$ . Очевид-

**140** но  $(\xi(t), \eta(t), \tilde{\eta}(t), \tilde{\xi}(t))$  – многомерный стационарный гауссовский случайный процесс. Из соотношений (67)–(70) и (10) следует, что

$$(71) \quad 2 \int_0^\infty (f_{\xi\xi}(\omega) + f_{\tilde{\xi}\tilde{\xi}}(\omega) - 2 \operatorname{Re} f_{\xi\tilde{\xi}}(\omega)) d\omega \leq \varepsilon^2,$$

$$(72) \quad 2 \int_0^\infty f_{\eta\eta}(\omega) d\omega \leq P_c;$$

$$(73) \quad \begin{aligned} f_{\xi\eta}(\omega) &= a(\omega) f_{\xi\xi}(\omega), \quad f_{\eta\eta}(\omega) = |a(\omega)|^2 f_{\xi\xi}(\omega), \\ f_{\tilde{\eta}\tilde{\eta}}(\omega) &= f_{\eta\eta}(\omega) + f_{\tilde{\xi}\tilde{\xi}}(\omega), \\ f_{\tilde{\eta}\tilde{\xi}}(\omega) &= b(\omega) f_{\tilde{\eta}\tilde{\eta}}(\omega), \quad f_{\tilde{\xi}\tilde{\xi}}(\omega) = |b(\omega)|^2 f_{\tilde{\eta}\tilde{\eta}}(\omega). \end{aligned}$$

Задача оптимального линейного кодирования и декодирования заключается в подборе таких  $a(\omega)$  и  $b(\omega)$ , которые минимизируют  $\varepsilon^2$  в неравенстве (8). Как известно, при оптимальном линейном кодировании

$$(74) \quad |a(\omega)|^2 = \max \left( \frac{\lambda \sqrt{(f_{\xi\xi}(\omega) f_{\tilde{\xi}\tilde{\xi}}(\omega)) - f_{\xi\xi}(\omega)}}{f_{\xi\xi}(\omega)}, 0 \right),$$

$$(75) \quad b(\omega) = \frac{\overline{a(\omega)} f_{\xi\xi}(\omega)}{|a(\omega)|^2 f_{\xi\xi}(\omega) + f_{\tilde{\xi}\tilde{\xi}}(\omega)}$$

и наименьшее среднеквадратичное отклонение равно

$$(76) \quad \varepsilon^2 = 2 \int_0^\infty \min \left( \frac{1}{\lambda} \sqrt{(f_{\xi\xi}(\omega) f_{\tilde{\xi}\tilde{\xi}}(\omega)) - f_{\xi\xi}(\omega)}, 0 \right) d\omega.$$

Постоянное  $\lambda$  в (74) и (76) в соответствии с условием (72) определяется из соотношения

$$(77) \quad 2 \int_0^\infty \max (\lambda \sqrt{(f_{\xi\xi}(\omega) f_{\tilde{\xi}\tilde{\xi}}(\omega)) - f_{\xi\xi}(\omega)}, 0) d\omega = P_c.$$

Если при оптимальном линейном кодировании и декодировании для  $\varepsilon^2$ , определяемом из (77) выполнено условие

$$(78) \quad H_\varepsilon = \bar{C},$$

то согласно обратной теореме Шеннона линейные методы будут наилучшими среди любых методов кодирования, то есть при оптимальном линейном методе кодирования значения среднеквадратичного отклонения  $\varepsilon^2$  будут не больше, чем при любом другом методе кодирования. Методы кодирования, для которых выполнено (78), будем для краткости называть *оптимальными по Шеннону*.

Исходим из выражений для  $\bar{H}_\varepsilon$  и  $\bar{C}$

$$(79) \quad \bar{H}_\varepsilon = \frac{1}{2\pi} \int_0^\infty \log \max \left( \frac{f_{\xi\xi}(\omega)}{\varTheta^2}, 1 \right) d\omega,$$

$$(80) \quad \bar{C} = \frac{1}{2\pi} \int_0^\infty \log \max \left( \frac{\vartheta^2}{f_{\xi\xi}(\omega)}, 1 \right) d\omega,$$

где постоянные  $\varTheta^2$  и  $\vartheta^2$  определяются из условий

$$(81) \quad 2 \int_0^\infty \min (\varTheta^2, f_{\xi\xi}(\omega)) d\omega = \varepsilon^2,$$

$$(82) \quad 2 \int_0^\infty f_m(\omega) d\omega = 2 \int_0^\infty \max (\vartheta^2 - f_{\xi\xi}(\omega), 0) d\omega = P_c.$$

Обозначим через  $\Omega$  множество значений  $\omega > 0$ , в которых подинтегральное выражение в (77) отлично от нуля. Легко показать [19, 20], что для выполнения соотношения (78), при оптимальных линейных методах кодирования и декодирования необходимо и достаточно, чтобы

$$(83) \quad f_{\xi\xi}(\omega) f_{\zeta\xi}(\omega) = \text{const},$$

$$f_{\xi\xi}(\omega) \leq f_{\zeta\xi}(\omega'), \quad \omega \in \Omega, \quad \omega' \notin \Omega, \quad \omega, \omega' > 0.$$

Множество  $\Omega$  является полосой пропускания кодирующего устройства. Из выражений (80) и (82) видно, что при  $\bar{C} < \infty$  процесс  $\zeta(t)$  обобщенный.

Во многих исследованиях помимо ограничения на среднюю мощность сигнала (10) вводят ограничение на полосу  $(\bar{\omega}, \bar{\omega} + W)$  пропускания сигналов в канале. В нашем случае это можно свести к следующему ограничению. Спектральная плотность процесса на входе канала  $\eta(t)$  отлична от нуля лишь на интервалах  $(-W - \bar{\omega}, -\bar{\omega})$  и  $(\bar{\omega}, \bar{\omega} + W)$ .

При ограниченной полосе пропускания формулы (69), (80), (77) принимают вид

$$(84) \quad \eta(t) = \int_{-\bar{\omega}-W}^{-\bar{\omega}} e^{it\omega} a(\omega) \Phi_s(d\omega) + \int_{\bar{\omega}}^{\bar{\omega}+W} e^{it\omega} a(\omega) \Phi_s(d\omega),$$

$$(85) \quad \bar{C} = \frac{1}{2\pi} \int_{\bar{\omega}}^{\bar{\omega}+W} \log \max \left( \frac{\vartheta^2}{f_{\xi\xi}(\omega)}, 1 \right) d\omega,$$

$$(86) \quad 2 \int_{\bar{\omega}}^{\bar{\omega}+W} \max (\lambda \sqrt{(f_{\xi\xi}(\omega) f_{\zeta\xi}(\omega))} - f_{\zeta\xi}(\omega), 0) d\omega = P_c.$$

Для каналов с конечной полосой пропускания  $(\bar{\omega}, \bar{\omega} + W)$  для выполнения (78) кроме (83) необходимо и достаточно следующего добавочного условия: мно-

жество  $\Omega$  из (83) содержится в сумме интервалов  $\Omega \subset (-\bar{\omega} - W, -\bar{\omega}) \cup (\bar{\omega}, \bar{\omega} + W)$ , в частности, когда

$$f_{\xi\xi}(-\omega) = f_{\xi\xi}(\omega) = \begin{cases} a_\xi = \text{const} & \text{при } \omega \in (\bar{\omega}, \bar{\omega} + W), \\ 0 & \text{при других значениях } \omega \end{cases}$$

и

$$f_{\xi\xi}(-\omega) = f_{\xi\xi}(\omega) = a_\xi' = \text{const} \quad \text{при } \omega \in (\bar{\omega}, \bar{\omega} + W),$$

то выполнено (78) и оптимальные линейные методы кодирования сводятся к умножению процессом  $\xi(t)$  и  $\eta(t)$  на некоторые константы. В некоторых случаях, когда условия (83) не выполнены, мы можем уменьшить значения  $\varepsilon^2$  и даже добиться выполнения (78) с помощью процедуры, называемой перестановкой спектра процесса  $\xi(t)$  [20]. Суть этой процедуры мы рассмотрим сначала на одном частном случае.

Пусть гауссовские процессы  $\xi(t)$  и  $\eta(t)$  представляются в виде

$$\xi(t) = \int_{-\bar{\omega}-W}^{-\bar{\omega}} e^{it\omega} \Phi_\xi(d\omega) + \int_{\bar{\omega}}^{\bar{\omega}+W} e^{it\omega} \Phi_\xi(d\omega)$$

и

$$(87) \quad f_{\xi\xi}(-\omega) = f_{\xi\xi}(\omega) = \begin{cases} a'_\xi & \text{при } \omega \in (\bar{\omega}, \bar{\omega} + W/2), \\ a''_\xi & \text{при } \omega \in (\bar{\omega} + W/2, \bar{\omega} + W), a'_\xi > a''_\xi, \end{cases}$$

$$(88) \quad f_{\xi\xi}(-\omega) = f_{\xi\xi}(\omega) = \begin{cases} a'_\xi & \text{при } \omega \in (\bar{\omega}, \bar{\omega} + W/2), \\ a''_\xi & \text{при } \omega \in (\bar{\omega} + W/2, \bar{\omega} + W), a'_\xi > a''_\xi. \end{cases}$$

Из (87) и (88) видно, что из  $f_{\xi\xi}(\omega') \geq f_{\xi\xi}(\omega'')$  следует

$$(89) \quad \begin{aligned} f_{\xi\xi}(\omega') &\geq f_{\xi\xi}(\omega''), \\ \omega', \omega'' &\in (-\bar{\omega} - W, -\bar{\omega}) \cup (\bar{\omega}, \bar{\omega} + W). \end{aligned}$$

Процесс

$$(90) \quad \begin{aligned} \xi^*(t) &= e^{itW/2} \int_{-\bar{\omega}-W}^{-\bar{\omega}-W/2} e^{it\omega} \Phi_\xi(d\omega) + e^{-itW/2} \int_{-\bar{\omega}-W/2}^{-\bar{\omega}} e^{it\omega} \Phi_\xi(d\omega) + \\ &+ e^{itW/2} \int_{\bar{\omega}}^{\bar{\omega}+W/2} e^{it\omega} \Phi_\xi(d\omega) + e^{-itW/2} \int_{\bar{\omega}+W/2}^{\bar{\omega}+W} e^{it\omega} \Phi_\xi(d\omega) \end{aligned}$$

получается „перестановкой спектра“ из процесса  $\xi(t)$ . Очевидно

$$f_{\xi^*\xi^*}(-\omega) = f_{\xi^*\xi^*}(\omega) = \begin{cases} a''_\xi & \text{при } \omega \in (\bar{\omega}, \bar{\omega} + W/2), \\ a'_\xi & \text{при } \omega \in (\bar{\omega} + W/2, \bar{\omega} + W) \end{cases}$$

и соотношения (89) переходят в следующие: из

143

$$f_{\xi\xi}(\omega') \geq f_{\xi\xi}(\omega'')$$

следует

$$(91) \quad f_{\xi^*\xi^*}(\omega') \leq f_{\xi\xi}(\omega'').$$

Для процесса  $\xi^*(t)$  характерно, что в полосе  $(\bar{\omega} + W/2, \bar{\omega} + W)$  где его интенсивность (т.е.  $f_{\xi^*\xi^*}(\omega)$ ) больше, там интенсивность шума ( $f_{\xi\xi}(\omega)$ ) меньше и наоборот.

Нетрудно убедиться, что оптимальное линейное кодирование и декодирование для  $\xi^*(t)$  приводят к процессу  $\tilde{\xi}^*(t)$  с среднеквадратичным отклонением  $\varepsilon^2 = E(\xi^*(t) - \tilde{\xi}^*(t))^2$  меньшим, чем для  $\xi(t)$ , в частности, если  $a''_\xi = a'_\xi = 0$ , то  $\varepsilon^2 = 0$  и процесс  $\tilde{\xi}^*(t)$  восстанавливается без искажений, если же  $a'_\xi a''_\xi = a''_\xi a'_\xi$ , то выполнено соотношение (78).

Рассмотрим теперь перестановку спектра процесса  $\tilde{\xi}^*(t)$ , заменяя в (90)  $\xi, \xi^*$  на  $\tilde{\xi}^*, \tilde{\xi}$  и  $e^{itW/2}$  на  $e^{-itW/2}$ , очевидно

$$E(\xi^*(t) - \tilde{\xi}^*(t))^2 = E(\xi(t) - \tilde{\xi}(t))^2.$$

Таким образом, сочетание перестановок спектра с оптимальным линейным кодированием и декодированием приводит к уменьшению среднеквадратичного отклонения воспроизведенного сообщения от сообщения на выходе источника.

Вообще говоря, процесс  $\xi^*(t)$ , получаемый в результате конечного числа преобразований (86) или являющийся пределом таких процессов в среднеквадратичном\*, мы также будем называть процессом с перестановкой спектра  $\xi(t)$ .

Легко убедиться, что процесс  $\xi^*(t)$ , являющийся „перестановкой“ процесса  $\xi(t)$ , представляется в виде

$$(92) \quad \xi^*(t) = \int_{-\infty}^{\infty} e^{i\varphi(\omega)t} \Phi_\xi(d\omega).$$

Здесь  $\varphi(\omega) = -\varphi(-\omega)$  — измеримая функция и при любых  $\omega_1 < \omega_2$

$$(93) \quad \mu(\omega' : \omega_1 \leq \omega' \leq \omega_2) = \omega_2 - \omega_1,$$

где  $\mu(\cdot)$  — мера Лебега, и, наоборот, если процесс  $\xi^*(t)$  допускает представление (92), то он является перестановкой спектра  $\xi(t)$ . Соотношение (93) выражает тот факт, что переход от  $\xi(t)$  к  $\xi^*(t)$  не меняет „ширины спектра“. Можно показать, что существует такая перестановка спектра процесса  $\xi(t)$ , что из  $f_{\xi\xi}(\omega') \geq f_{\xi\xi}(\omega'')$  следует

$$(94) \quad f_{\xi^*\xi^*}(\omega') \leq f_{\xi\xi}(\omega'').$$

\* Последовательность процессов  $\alpha_1(t), \alpha_2(t), \dots$  сходится к процессу  $\alpha(t)$  в среднеквадратичном, если  $\lim_{n \rightarrow \infty} \alpha_n(t) = \alpha(t)$  т.е.  $\lim_{t \rightarrow \infty} E(\alpha(t) - \alpha_n(t))^2 = 0$ .

144

Легко видеть, что среднеквадратичное отклонение при оптимальном линейном кодировании и декодировании процесса  $\xi^*(t)$  будет не больше, чем среднеквадратичное отклонение при любых других перестановках спектра  $\xi(t)$ , линейном кодировании и декодировании.

Отсюда вытекает, что последовательность операций: *перестановка спектра* (94), *оптимальное линейное кодирование и декодирование*, „обратная“ *перестановка спектра* дает наименьшее значение

$$\varepsilon^2 = E(\xi(t) - \tilde{\xi}(t))^2$$

по сравнению с любыми другими перестановками, линейном кодировании и декодировании.

Однако, следует отметить, что перестановка спектра и линейное кодирование не приводят к уменьшению  $\varepsilon^2$  в случае, когда

$$E \varepsilon^2(t) = 2 \int_0^\infty f_{\xi\xi}(\omega) d\omega = P_c,$$

$$f_{\xi\xi}(-\omega) = f_{\xi\xi}(\omega) = \begin{cases} a_\xi = \text{const} & \text{при } \omega \in (0, W_1), \\ 0 & \text{при } \omega \notin (0, W_1); \omega, W > 0; \end{cases}$$

а полоса пропускания канала  $(0, W_2)$  не совпадает с полосой  $(0, W_1)$  (т.е.  $W_1 \neq W_2$ ) и  $f_{\xi\xi}(\omega) = a_\xi = \text{const}$ . Построение оптимальных или сколь угодно близких к оптимальным (т.е. таких, что разность  $\bar{C} - \bar{H}_c$  сколь угодно мала) эффективных методов кодирования и декодирования является здесь открытой проблемой.

Для решения этой проблемы достаточно решить следующую задачу (называемую иногда задачей сокращения спектра).

Пусть  $\xi(t)$  и  $\zeta(t)$  гауссовские процессы с

$$f_{\xi\xi}(-\omega) = f_{\xi\xi}(\omega) = \begin{cases} a_\xi \neq 0 & \text{при } \omega \in (0, W_1), \\ 0 & \text{при } \omega \notin (0, W_1); W_1, \omega > 0; \end{cases}$$

$$f_{\zeta\zeta}(-\omega) = f_{\zeta\zeta}(\omega) = \begin{cases} a_\zeta \neq 0 & \text{при } \omega \in (0, W_2), \\ 0 & \text{при } \omega \notin (0, W_2); W_2, \omega > 0; \end{cases}$$

$$W_1 \neq W_2.$$

При любом  $\delta > 0$ , построить функционалы  $\phi(\cdot)$  и  $\psi(\cdot)$ , определенные на пространстве  $L^2(-T, T)$  вещественных функций с суммированием квадратом, заданных на интервале  $(-T, T)$  ( $T$  зависит от  $\delta$ ) такие, что

$$E(\xi(t) - \tilde{\xi}(t))^2 \leq \varepsilon^2 + \delta;$$

$$\frac{1}{2\pi} W_1 \log \frac{a_\xi W_1}{\varepsilon^2} = \frac{1}{2\pi} W_2 \log \left( 1 + \frac{a_\xi}{a_\zeta} \right)$$

(левая часть последнего равенства равна  $\varepsilon$ -энтропии  $\bar{H}_\varepsilon$  источника определяемого процессом  $\xi(t)$ , а правая часть – пропускной способности канала с  $P_c = 2a_\xi W_2$ ,  $f_{\xi\xi}(\omega) = a_\xi$  и полосой пропускания  $(0, W_2)$ ). Случайная величина  $\tilde{\xi}(t)$  удовлетворяет цепочке равенств

$$\tilde{\xi}(t) = \psi_i(\tilde{\eta}_{t-T}^{t+T}), \quad \tilde{\eta}(t) = \eta(t) + \zeta(t), \quad \eta(t) = \varphi_i(\xi_{t-T}^{t+T}).$$

Здесь

$$\varphi_i(f(\tau)) = \varphi(f(\tau - i)), \quad \psi_i(f(\tau)) = \psi(f(\tau - t)),$$

где  $f(\tau)$  – функция с суммированным квадратом, заданная на интервале  $(t - T, t + T)$ . Значения случайных величин

$$\xi_{t-T}^{t+T} = \{\xi(\tau); t - T \leq \tau \leq t + T\}$$

– функции заданные на интервале  $(t - T, t + T)$ .

Нахождение простых методов построения функций  $\varphi$  и  $\psi$  в сочетании с перестановкой спектра и линейным кодированием дало бы возможность для произвольных гауссовых источников и каналов построить простые методы кодирования и декодирования, сколь угодно близкие к оптимальным.

(Поступило 9 июня 1965 г.)

#### ЛИТЕРАТУРА

- [1] Shannon C.: A mathematical theory of communication. Bell. System Techn. J. 27 (1948), 3, 379–423; 27 (1948), 4, 623–656. (Рус. пер. Шеннон К.: Математическая теория связи. Сб. Шеннон К.: Работы по теории информации и кибернетике. Изд. ИЛ., М. 1963, 243–332.)
- [2] Колмогоров А. Н.: Теория передачи информации. Сб. Сессия АН СССР по науч. проблемам. Автом. пр.-ва. 1956. Пленарное заседание. Изд. АН СССР 1957, 66–99. Дискуссия 148–161.
- [3] Добрушин Р. Л.: Математические вопросы шенноновской теории оптимального кодирования информации. Сб. Проблемы передачи информации. Изд. АН СССР, М. 10 (1961), 63–107.
- [4] Добрушин Р. Л.: Общая формулировка основной теоремы Шеннона в теории информации. Усп. мат. наук 14 (1959), 6, 3–104.
- [5] Shannon C.: Certain results in coding theory for noisy channels. Information and Control 1 (1957), 6–25. (Русск. пер. Шеннон К.: Некоторые результаты теории кодирования для каналов с шумами. Сб. Шеннон К.: Работы по теории информации и кибернетике. Изд. ИЛ., М. 1963, 509–531.)
- [6] Пинскер М. С.: Информация и информационная устойчивость случайных величин и процессов. Изд. АН СССР, М. 1960.
- [7] Пинскер М. С.: Источники сообщений. Сб. Проблемы передачи информации. Изд. АН СССР, М. 14 (1963), 5–20.

- [8] Пинскер М. С.: Гауссовские источники. Сб. Проблемы передачи информации. Изд. АН СССР, М. 14 (1963), 50—100.
- [9] Fano R. M.: Transmission of information. MIT Press and J. Wiley, New York - London 1961.
- [10] Wozencraft J. M., Reiffen B.: Sequential decoding. MIT Press and J. Wiley, New York — London 1961. (Русс. пер. в книге Возенкрафт Дж., Райфен Б.: Последовательное декодирование. ИЛ, 1963.)
- [11] Peterson W.: Error-correcting codes. MIT Press — J. Wiley, New York — London 1961. (Русск. пер. Петерсон У.: Коды исправляющие ошибки. Изд. Мир. 1964.)
- [12] Ziv J.: Coding and decoding for time-discrete amplitude continuous memoryless channels. IRE Trans. Inform. Theory 8 (September 1962).
- [13] Ziv J.: Successive decoding scheme for memoryless channels. IEEE Trans. Inform. Theory 9 (1963), 2, 97—105.
- [14] Fano R. M.: A heuristic discussion of probabilistic decoding. IEEE Trans. Inform. Theory 9 (1963), 2, 64—74. (Русск. пер. Фано Р. М.: Эвристическое обсуждение вероятностного декодирования. Сб. Теория кодирования. Изд. МИР, М. 1964, 166—198.)
- [15] Callager R. C.: Low density parity-check codes. IRE Trans. Inform. Theory 8 (1962), 1, 21—28. (Русск. пер. Галлагер Р. Г.: Коды с малой плотностью проверок на четность, Сб. Теория кодирования. Изд. МИР, М. 1964, 139—166.)
- [16] Добрушин Р. Л.: По поводу последовательного декодирования методом Возенкрафта-Рейффена. Сб. Проблемы кибернетики 12 (1964), 114—123.
- [17] Пинскер М. С.: О сложности декодирования. Проблемы передачи информации 1 (1965), 115—118.
- [18] Цыбаков Б. С.: Шенноновская схема для гауссовского сообщения с равномерным спектром и флукутуационным шумом. Радиотехн. и электроника 6 (1964), 4, 649.
- [19] Овсеевич И. А. и Пинскер М. С.: Оптимальное линейное предыскажение и корректирование. Изв. АН СССР — Техническая кибернетика (1963), 5, 54—60.
- [20] Овсеевич И. А. и Пинскер М. С.: Согласование источника сообщений с каналом методом перестановки спектров. Изв. АН СССР — Техническая кибернетика (1965), 2, 81—86.
- [21] Grenander U., Szego G.: Toeplitz forms and their application. University of California Press, Berkeley and Los Angeles 1958. (Русск. пер. Гренандер У., Сере Г.: Таплицевы формы и их приложения. Изд. ИЛ, М. 1961.)

## Některé matematické problémy teorie přenosu informace

M. S. PINSKER

Článek je přehledem pravděpodobnostních hledisek některých směrů teorie přenosu informace.

Pro širokou třídu zdrojů a kanálů jsou vyloženy jednotlivé úplné výsledky vycházející ze Shannonových vět. Pro libovolný Gaussův kanál jsou uvedeny horní odhady pravděpodobnosti chyby při optimálním kódování a dekódování.

Dále následuje diskuse o problému složitosti kódování a dekódování pro zdroje a kanály.

Dokazuje se, že se pro binární symetrický kanál dá sestrojit takové skupinové kódování a dekódování, že pro libovolnou rychlosť přenosu, menší než je kapacita kanálu, bude počet aritmetických operací omezen nějakou konstantou nezáviselou na pravděpodobnosti chyby. Pro Gaussovy zdroje a kanály jsou uvedeny nutné a postačující podmínky, aby lineární předskreslení a náprava související s permutací spektra byly nejlepší ze všech možných metod kódování a dekódování, a tedy byly optimální v Shannonovém smyslu. Nakonec je probrán problém konstrukce optimálních metod kódování a dekódování pro libovolné Gaussovy zdroje a kanály.

*Марк Семенович Пинскер, Институт проблем передачи информации АН СССР, Авиамоторный пр-т ул. 8а, корп. 2, Москва Е-24, СССР.*